



## ارزیابی کارآیی داده‌های طیفی و شاخص‌های منتج از سنجنده‌های OLI و TIRS در برآورده شوری خاک‌های مناطق خشک جنوب استان ایلام

حمیدرضا متین‌فر<sup>۱</sup>، فوزیه کوهنی<sup>۲\*</sup>، علی‌اکبر اصلیان‌مهبادی<sup>۳</sup>

۱. دانشیار، گروه علوم و مهندسی خاک، دانشکده کشاورزی، دانشگاه لرستان

۲. دانشجوی دکتری، گروه علوم و مهندسی خاک، دانشکده کشاورزی، دانشگاه لرستان

۳. دانش‌اموزخانه کارشناسی ارشد، گروه علوم و مهندسی خاک، دانشکده کشاورزی، دانشگاه ایلام

تاریخ دریافت مقاله: ۱۴۰۰/۰۷/۰۳

تاریخ دریافت مقاله: ۱۳۹۹/۰۲/۰۲

### چکیده

شوری خاک یکی از مشکلات مهم زیست‌محیطی است و شناسایی و پنهان‌بندی خاک‌های شور، به علت نیاز به نمونه‌برداری و انجام‌دادن آنالیزهای آزمایشگاهی و همچنین تغییرپذیری زمانی و مکانی آن، مشکل است. در سال‌های اخیر استفاده از تصاویر ماهواره‌ای، به علت استفاده آسان و توانایی در شناسایی پدیده‌ها، همواره مورد توجه متخصصان قرار گرفته است. در این پژوهش، ۲۲۰ نمونه خاک از منطقه میمه شهرستان دهلران، در جنوب استان ایلام، با توجه به نوع مطالعه و تیپ‌های فیزیوگرافی و واحدهای متخلک خاک‌ها برداشت شد. سپس مقادیر pH و EC با استفاده از روش‌های استاندارد اندازه‌گیری شد. ارزیابی مقادیر شوری خاک، با استفاده از روابط همبستگی بین مقادیر هدایت الکتریکی EC حاصل از داده‌های زمینی، با متغیرهای به دست آمده از تصاویر ماهواره‌ای لندست ۸ شامل باندها، شاخص‌های شوری، شاخص‌های پوشش گیاهی و شاخص‌های خاک صورت گرفت. در نهایت، مدل تخمین شوری سطحی خاک با روش رگرسیون گام‌به‌گام به دست آمد. این روش شامل انتخاب خودکار متغیرهای مستقل است و با دردسترس بودن بسته‌های نرم‌افزاری آماری، انجام‌دادن آن حتی در مدل‌هایی با صدها متغیر امکان‌پذیر است. در مطالعات گذشته، شاخص‌ها و باندها به صورت جداگانه و محدود به کار رفته‌اند اما، در این مطالعه، سعی شده است از ترکیب شاخص‌های گوناگون استفاده گسترده‌تری شود و در نهایت، با حذف شاخص‌هایی که کمترین تأثیر را در برآورده شوری خاک داشته‌اند، بهترین مدل برآورده شوری برای خاک منطقه پیشنهاد شد. با استفاده از آنالیز سطح معنی‌داری و میزان همبستگی بین خروجی مدل‌ها و داده‌های زمینی، بهترین مدل با مقدار  $R^2 = 0.882$  انتخاب و نقشه شوری خاک براساس آن تهیه شد. بیشترین مساحت مربوط به کلاس غیرشور است که ۷۵٪ از کل منطقه مورد مطالعه را شامل می‌شود و حدود ۱٪ از خاک‌های منطقه نیز مربوط به کلاس سیار شور است. با مقایسه داده‌های حاصل از ماهواره لندست ۸ و به کارگیری شاخص‌ها و قراردادن شاخص‌ها در معادله رگرسیونی گام‌به‌گام، این نتیجه حاصل شد که تصاویر ماهواره‌ای برای ارزیابی شوری خاک منطقه کارآمد است و نتایج حاصل، همبستگی بالایی در سطح  $0.88$  با داده‌های زمینی دارند.

کلیدواژه‌ها: میمه دهلران، سنچش از دور، شاخص شوری خاک، رگرسیون گام‌به‌گام، OLI، TIRS.

\* نویسنده مکاتبه‌کننده: دانشکده کشاورزی، گروه علوم و مهندسی خاک دانشگاه لرستان. تلفن: ۰۹۳۰۱۵۸۴۴۱۴.

Email: kohani.f@fa.lu.ac.ir

## ۱- مقدمه

می‌شود اطلاعات استخراجی از روش‌های معمول با داده‌های طبیعی و مکانی از این پدیده متأثر شود. در سنجش از دور، امکان شناسایی خاک‌های شور بسیار تحت تأثیر رطوبت، درجه شوری، پوسته‌ها و کنتراست بازتاب طبیعی نمک با سایر سطوح است. به‌طورکلی، در شناسایی زمین‌هایی با میزان شوری بالا و متوسط، در مقایسه با زمین‌های دارای شوری انک و مناطقی که در مراحل اولیه شورشدن‌اند، موفق‌تر بوده است (متین‌فر و همکاران، ۱۳۸۹). اطلاع از وضعیت توزیع جغرافیایی خاک‌های متأثر از نمک، مسیر بعدی انتشار نمک و شوری‌زایی را مشخص می‌کند و استفاده از تکنیک‌های سنجش از دور در این زمینه بسیار سودمند و کارآمد است (Metternicht & Zinck, 2008).

خاک پدیده‌ای همراه با پیچیدگی‌های بسیار فیزیکی، شیمیایی و بیولوژیکی است؛ از این‌رو، انتظار پیچیدگی‌های طبیعی خاک نیز منطقی است (علوی‌پناه، ۱۳۸۲). به همین دلیل، روش یا رابطه ریاضی مشخص برای تهیه نقشه شوری خاک، با استفاده از اطلاعات سنجش از دور وجود ندارد. دانشمندان متفاوتی، هریک با توجه به منابع و منطقه مورد مطالعه، روشی را برای بررسی شوری خاک مطرح کرده‌اند که همگی از تصاویر ماهواره‌ای بهره می‌برند (دشتکیان و همکاران، ۱۳۸۷).

نتایج تحقیقی که رکا<sup>۱</sup> و همکاران (۲۰۱۱) در کشور هند و با استفاده از باندهای سنجنده TM انجام دادند، نشان داد که استفاده از داده‌های سنجش از دور، همراه با داده‌های زمینی، ابزار قدرتمندی برای شناسایی نواحی شور است. الحسنون<sup>۲</sup> (۲۰۱۲) در بخش شمالی عربستان، با کمک تصاویر سنجنده TM، نقشه شوری منطقه مورد مطالعه را تهیه کرد و به این نتیجه رسید که داده‌های سنجنده TM را می‌توان برای بررسی شوری خاک استفاده کرد. وی همچنین نشان داد بیشتر اراضی کشت‌شده، در محدوده مورد مطالعه، تحت تأثیر سطوح گوناگون شوری قرار دارند که استفاده از داده‌های

شوری خاک، که بر اثر فعالیت‌های انسانی یا به‌طور طبیعی به وجود می‌آید، از جمله خطرهای بالقوه محیطی (Metternicht & Zinck, 2003) محسوب می‌شود. خاک‌های شور یکی از معضله‌های کشاورزی در بسیاری از نقاط جهان به‌شمار می‌آیند؛ در واقع، شوری ۷٪ از زمین‌های دنیا، یعنی حدود ۹۳۰ میلیون هکتار را تحت تأثیر قرار داده و روزبه روز در حال گسترش است. سطح خاک‌های شور اولیه، در مقیاس جهانی، حدود ۹۵۵ میلیون هکتار و سطح اراضی شور حاصل از فعالیت انسانی (شورشدن ثانویه) حدود ۷۷ میلیون هکتار است که ۵۸٪ از این مقدار مختص زراعت‌های آبی است (Abdelfattah, 2009). خاک‌های شور سطح وسیعی از کشور ما را فراگرفته و در مساحت‌های کوچک، در نقاط متفاوتی پراکنده است و اراضی مجاور خود را نیز تهدید می‌کند. کشور ایران، به‌دلیل تکیه بر کشاورزی فاریاب برای تولید محصولات کشاورزی، به‌شدت در معرض شورشدن اراضی قرار دارد (Qureshi et al., 2007; Helmut et al., 2013). براساس آمار موجود در سطح جهان، ایران پس از چین، هند و پاکستان بیشترین درصد اراضی شور را به خود اختصاص داده است (کافی و همکاران، ۱۳۸۸). تهیه نقشه شوری خاک یکی از گام‌های اولیه در شناسایی اراضی شور است و روش‌های متفاوتی برای آن وجود دارد که هریک، با توجه به امکانات در دسترس، درخور توجه است. با توسعه فناوری سنجش از دور، استفاده از تصاویر ماهواره‌ای به روشی کارآمد در این زمینه معرفی شده است (چیتساز، ۱۳۷۸). در سال‌های اخیر، از تصاویر ابرطیفی در دامنه‌های مرئی، مادون قرمز نزدیک و مادون قرمز میانی (طول موج بین ۳۵۰ تا ۲۵۰۰ نانومتر) به منزله روشی سریع، مقرر و به صرفه و غیرمخدود در برآورد ویژگی‌های خاک استفاده شده؛ بنابراین، در ارزیابی شوری خاک، استفاده از روش طیف‌سنجی مفید است (Zeng et al., 2018). شوری سطح، فرایند فعالی است؛ بنابراین، این ویژگی موجب

1. Rekha

2. Al-Hassoun

استفاده شده، در پژوهش حاضر سعی شده است، برای افزایش دقت کار حدود ۳۷ شاخص متفاوت خاک، آب و گیاه محاسبه و استفاده می‌شود. بدین صورت می‌توان کارآیی هریک از این شاخص‌ها را در برآورد شوری خاک، ارزیابی کرد و در نهایت، به طرح بهترین مدل بهمنظور تهیه نقشه شوری خاک منطقه رسید. اهمیت مسئله در توانایی جداسازی خاک‌های مناطق خشک، به‌ویژه تفکیک خاک‌های سور، خیلی سور، به شدت سور، غیرسور و اراضی مزروعی و مشابه آن از یکدیگر است تا بهره‌برداری متناسب، با توجه به ویژگی‌های اراضی انجام شود. بنابراین، به منظور کاهش هزینه‌های مطالعاتی، استفاده از داده‌های یادشده ضروری به نظر می‌رسد.

## ۲- مواد و روش‌ها

### ۲-۱- محدوده مورد مطالعه

منطقه مورد مطالعه، به وسعت ۲۱۰۰۰ هکتار، بخشی از دشت دهلران واقع در استان ایلام است که بین ۶۹۳۵۰۰ تا ۷۱۴۵۰۰ متر طول شرقی و ۳۶۰۱۵۰۰ تا ۳۶۲۵۲۵۰ متر عرض شمالی قرار گرفته است. محدوده مطالعاتی در بخشی از شهرستان دهلران به اسمی دهلران و تمیمو قرار دارد. بارش سالیانه در این شهرستان اغلب به صورت باران و در حدود  $275/4$  میلی‌متر و میانگین درجه حرارت  $25/9$  سانتی‌گراد است. خاک‌های منطقه مورد مطالعه دارای رژیم رطوبتی اریدیک و رژیم حرارتی هایپرترمیک است. این منطقه، از دیدگاه زمین‌شناسی، بخشی از زون زاگرس چین‌خورده<sup>۳</sup> است. جنس رسوبات آن کربناته است و کم‌وبیش در آن مارن، ماسه‌سنگ و شیل دیده می‌شود. وجود رسوبات تبخیری و برخی نمودهای چینه‌شناسی کوتاه‌مدت، نشانه‌ای از حرکات قائم (خشکی زایی) در این منطقه رسوبی است. در شکل ۱، محدوده مطالعاتی و نقاط نمونه‌برداری مشخص شده است.

1. Digital Number

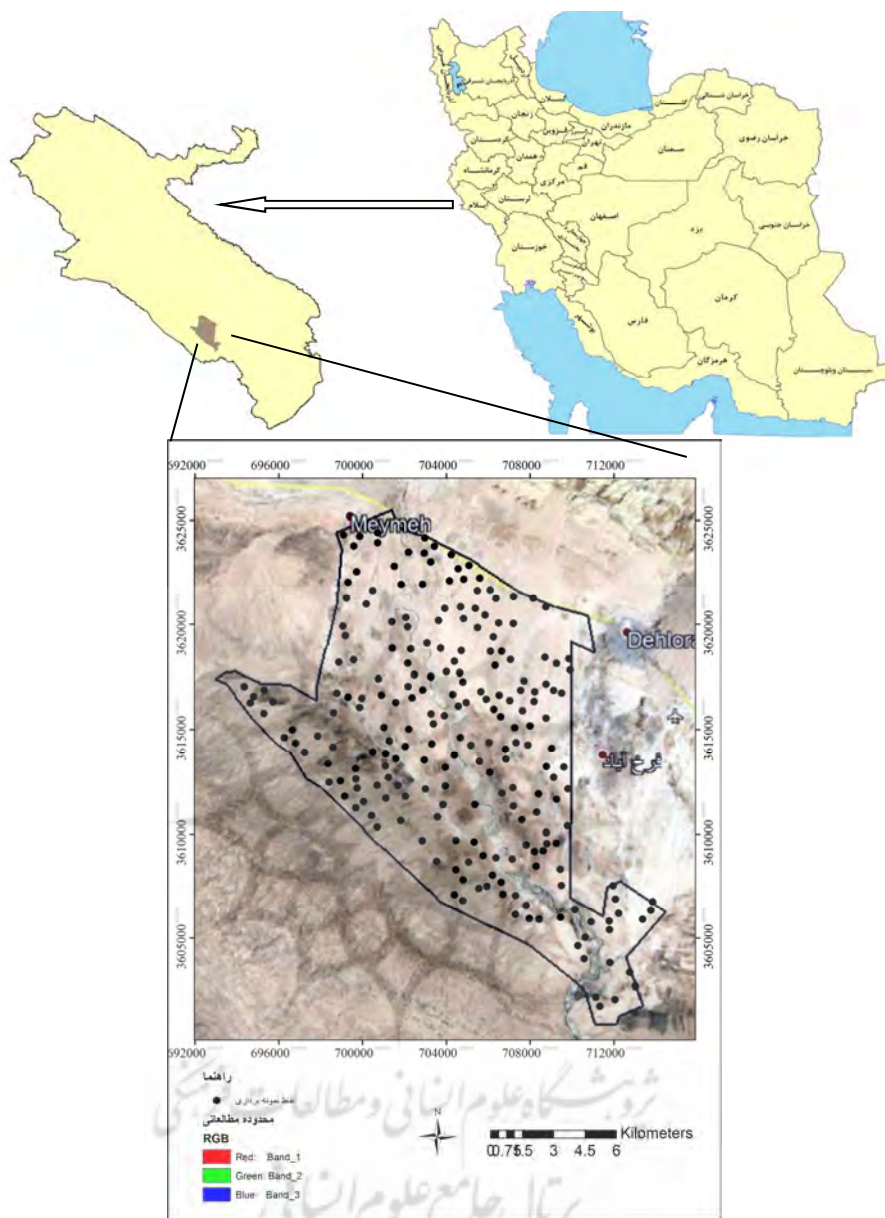
2. Buces

3. zagros folded zone

سنجش از دور می‌تواند، تا حد بسیاری، نقشه گسترش شوری خاک را بهتر نمایش دهد. دماوندی و درویش صفت (۱۳۷۸)، با استفاده از داده‌های سنجنده TM در منطقه حوض سلطان قم، رابطه بین EC و داده‌های رقومی (DN)<sup>۱</sup> را بررسی کردند و از راه تجزیه رگرسیون، رابطه معنی‌داری بین داده‌های رقومی و EC پیدا کردند اما به دلیل پایین‌بودن ضریب همبستگی، از طریق طبقه‌بندی با الگوریتم، حداقل درست‌نمایی نقشه شوری منطقه را تهیه کردند. بوسز<sup>۲</sup> و همکاران (۲۰۰۶) برای نقشه‌برداری شوری خاک تکسکوکو در مکزیک، از داده‌های رقومی ETM و عکس‌های هوایی استفاده کردند. آنها با تعديل شاخص پوشش گیاهی NDVI، شاخص طیفی جدیدی به نام شاخص ترکیب طیفی (CORSI) تهیه کردند. مقدار بسیار بالای همبستگی بین ویژگی‌های خاک (EC و SAR) و ارزش طیفی این شاخص (به ترتیب  $0/885$  و  $0/857$ ) وجود داشت که به صورت مدلی رگرسیونی، برای تهیه نقشه شوری خاک مطرح شد.

اخضری و اسدی (۱۳۹۵)، با استفاده از تحلیل طیفی داده‌های سنجنده OLI و اطلاعات میدانی، نقشه شوری جنوب دشت ملایر را تهیه و برای پایش شوری خاک، شاخص‌های طیفی و ویژگی شیمیایی خاک را مطالعه کردند. نتیجه پژوهش بازگوکننده کارآیی بالای سنجنده OLI در زمینه تهیه نقشه شوری خاک است. مهم‌ترین مشکلات تهیه نقشه شوری خاک با استفاده از سنجش از دور را می‌توان رفتار طیفی نمک‌های متفاوت، تغییرات زیاد شوری در سطح، تغییر شوری بر اثر گذشت زمان، تداخل با پوشش گیاهی و اختلاط با دیگر عوامل سطحی بر شمرد (Metternicht & Zinck, 2003).

هدف از تحقیق حاضر ارزیابی کارآیی داده‌های طیفی، با به‌کارگیری شاخص‌های استخراج‌شده از سنجنده‌های OLI و مقادیر زمینی TIRS برای برآورد مقدار شوری و تعیین کلاس شوری خاک در بخشی از اراضی خشک جنوب استان ایلام است. با توجه به اینکه در تحقیقات مشابه از تعداد محدودی شاخص



شکل ۱. موقعیت نقاط نمونهبرداری در منطقه مورد مطالعه

## ۲-۲- اندازه‌گیری‌های زمینی

موقعیت پروفیل‌ها با هدف دستیابی به غالب خاک‌های منطقه و با توجه به واحدهای فیزیوگرافی مشخص شد. تفکیک واحدهای فیزیوگرافی مستند به تصویر ماهواره‌ای سال ۲۰۱۳، مطالعه پروفیل‌های خاک، نقشه‌های مورد استفاده در جدول ۱ و با رعایت اصول

منابع آب منطقه شامل رودخانه‌های میمه و آب‌شور است که در دوره‌های خشک، کمیت و کیفیت آب‌ها به شدت تقلیل می‌یابد. از دیگر منابع آب، چاه‌های منطقه و سد انحرافی احداث شده روی رودخانه میمه است. از جمله گیاهان بومی منطقه می‌توان به خارشتر، خارزرد، کهورک، سلمک، کنگر، اسپند و نیز درختان گز، کنار و کهور و در اراضی شور، به گیاهان شورپسند مانند سالیکورنیا<sup>۱</sup> سالسولا<sup>۲</sup> اشاره کرد.

1. *Salicornia*  
2. *Salsola*

### ۲-۳- داده‌های سنجش از دوری

در این مطالعه، داده‌های رقومی چندطیفی سنجنده‌های TIRS و OLI ماهواره لندست ۸، متعلق به سال ۲۰۱۳ استفاده شد که شامل یازده باند است. باند ۱ در محدوده فرابنفش و آبی، باندهای ۲ و ۳ و ۴ جزء باندهای مرئی و باند ۵ مادون قرمز نزدیک (NIR) است. باندهای ۶ و ۷ در محدوده مادون قرمز کوتاه (SWIR) هستند و باند ۸ پانکروماتیک است. باند ۹ پدیده‌های بالای اتمسفر، مخصوصاً ابرهای سیروس را نشان می‌دهد و باندهای ۱۰ و ۱۱ باندهای حرارتی (TIR) هستند. قدرت تفکیک مکانی در همه باندها سی متر است؛ غیر از باند پانکروماتیک با قدرت تفکیک مکانی پانزده متر، و باندهای ۱۰ و ۱۱ دارای قدرت تفکیک مکانی صد مترند. بهترین زمان برای تهیه داده‌های سنجش از دور (مرئی و مادون قرمز)، برای تشخیص مقدار شوری خاک، پایان فصل خشک است زیرا املاح، در فصل‌های مرطوب، شسته می‌شوند (زینالی و همکاران، ۱۳۹۵). تصاویر ماهواره‌ای فاقد ابر و سایه در خشک‌ترین ماه سال، یعنی شهریور (اوت ۲۰۱۳)، از سایت earthexplorer.gov دریافت شد. جدول ۲ مشخصات سنجنده‌ها و باندهای لندست ۸ را نشان می‌دهد.

مشروح در کتاب طبقه‌بندی جامع خاک<sup>۱</sup> دپارتمان کشاورزی ایالات متحده (۱۹۹۹) و راهنمای جدید آن (۲۰۱۰) انجام شد. مختصات نقاط تعیین شده در سیستم متریک (UTM) یادداشت و به صورت فایل نقطه‌ای، در نرم‌افزار ARCGIS ذخیره شد و سپس فایل ذخیره شده به دستگاه GPS، برای مراجعات صحرایی و نمونه‌برداری، انتقال یافت. تعداد ۲۲۰ نقطه، بهمنزله نمونه و با مختصات معلوم، از عمق ۰-۷۵ سانتی‌متری خاک برداشت شد. نمونه‌ها، پس از هواخشکشدن، از الک دومیلی‌متری عبور داده شدند و پس از عصاره‌گیری از گل اشباع، مقدار هدایت الکتریکی عصارة اشباع با دستگاه الکتروکانداتیومتر اندازه‌گیری شد (Rhoades، 1982). واکنش خاک (pH) با استفاده از الکترود شیشه‌ای در گل اشباع اندازه گرفته شد (McLean، 1982) و مقدار کاتیون‌های محلول کلسیم و منیزیم ( $Ca^{2+}$ ,  $Mg^{2+}$ ) با استفاده از EDTA روش Complexmetry و مقدار سدیم ( $Na^+$ ) با استفاده از Flame photometr سنجیده شد (Rhoades، 1982).

جدول ۱. مشخصات نقشه‌های مورد استفاده

عنوان	منبع
نقشه زمین‌شناسی	سازمان زمین‌شناسی کشور
نقشه رژیم رطوبتی و حرارتی خاک‌های ایران به مقیاس ۱:۲۵۰۰۰۰	مؤسسه تحقیقات خاک و آب (۱۳۷۷)
نقشه توپوگرافی به مقیاس ۱:۵۰۰۰۰ به نام دهلوان (۵۴۵۵II)	سازمان جغرافیایی نیروهای مسلح
نقشه توپوگرافی به مقیاس ۱:۵۰۰۰۰ به نام تمتمو (۵۴۵۵III)	سازمان جغرافیایی نیروهای مسلح

جدول ۲. مشخصات سنجنده‌ها و باندهای لندست ۸

قدرت تفکیک مکانی (متر)	طول موج (میکرومتر)	باند	PACH/ROW	تاریخ	ماهواره لندست ۸
Coastal/Aerosol	۰.۴۳۳-۰.۴۵۳	۱	167.37	۲۰۱۳/۰۸/۰۴	سنسور (OLI)
	۰.۴۵۰-۰.۵۱۵	باند ۲-آبی			
	۰.۵۲۵-۰.۶۰۰	باند ۳-سبز			
	۰.۶۳۰-۰.۶۸۰	باند ۴-قرمز			
	۰.۸۴۵-۰.۸۸۵	باند ۵-مادون قرمز نزدیک			
	۱.۰۵۰-۱.۶۶۰	باند ۶-مادون قرمز طول موج کوتاه			
	۲.۱۰۰-۲.۳۰۰	باند ۷-مادون قرمز طول موج کوتاه			
	۰.۵۰۰-۰.۶۸۰	باند ۸-Panchromatic			
	۱.۳۶۰-۱.۳۹۰	باند ۹-Cirrus			
100	۱۰.۳۰-۱۱.۳۰	باند ۱۰-مادون قرمز طول موج بلند	167.37	۲۰۱۳/۰۸/۰۴	سنسور (TIRS)
	۱۱.۵۰-۱۲.۵۰	باند ۱۱-مادون قرمز طول موج بلند			

USDA soil taxonomy

از تصاویر ماهواره‌ای و طبق رابطه‌های (۱) و (۲) محاسبه شد (Landsat8 data users handbook, 2016).

$$L\lambda = (M_L \times Qcal) + AL \quad \text{رابطه (۱)}$$

$$\rho\lambda = (Mp \times Qcal) + Ap) / \sin(\Theta SE) \quad \text{رابطه (۲)}$$

$L\lambda$  تابش طیفی برای هر باند  $W/(m^2 \times srad \times \mu m)$ .  $AL$  و  $ML$  ضریب واسنجی تابشی باندهای سنجنده،  $Qcal$  مقدار پیکسل‌های خام تصاویر ماهواره‌ای پیش از واسنجی یا همان عدد رقومی (DN) مربوط به هر پیکسل،  $\rho\lambda$  انعکاس طیفی هر باند،  $\Theta SE$  زاویهٔ خورشیدی، و  $MP$  ضریب انعکاسی سنجنده است. پس از محاسبهٔ مقادیر تابشی باندها، ساختارهای مورد نیاز طبق روابط تعریف شده محاسبه شد (جدول ۳).

#### ۲-۴- محاسبهٔ ساختارها

پس از گردآوری تصاویر، پیش‌پردازش آنها شامل تصحیحات هندسی، تصحیحات رادیومتریکی و تصحیحات اتمسفری انجام شد. محدودهٔ مورد مطالعه از فریم تصویر کامل ماهواره‌ای جدا شد و یک وکتور نقطه‌ای، در محیط GIS و براساس مختصات جغرافیایی نقاط نمونه‌برداری، تهیه شد.

برای تعیین روابط بین مقادیر شوری و باندهای ماهواره‌های متفاوت، لازم بود ضرایب بازتاب پوشش سطح درمورد باندهای گوناگون واسنجی شود. منظور از واسنجی در محدودهٔ طیفی هر باند، به دست آوردن مقدار تشعشع ثبت شده از طریق باند مورد نظر در بالای اتمسفر است و مقادیر تابشی<sup>۱</sup> و انعکاسی<sup>۲</sup>، برای هر باند،

جدول ۳. ساختارهای به کاررفته

ساختار	نوع	رابطه	منابع
SI 1	Salinity index	(B/R)	Akhzari, 2016
SI 2	Salinity index	(B-R/B+R)	Akhzari, 2016
SI 3	Salinity index	(G*R)/R	Akhzari, 2016
SI 4	Salinity index	$\sqrt{B}R$	Khan et al., 2001
SI 5	Salinity index	(B*R)/G	Akhzari, 2016
SI 6	Salinity index	(R*NIR)/G	Akhzari, 2016
SI 7	Salinity index	$\sqrt{G}R$	Douaoui et al., 2006
SI 8	Salinity index	$\sqrt{G^2 * R^2} * NIR^2$	Kappa et al., 2005
SI 9	Salinity index	$\sqrt{G^2 * R^2}$	Douaoui et al., 2006
SI 10	Salinity index	(NIR-SWIR)/(NIR+SWIR)	Matinfar & Zandieh, 2016
SR	vegetation index	NIR/R	Birth & McVey, 1968
NDSI	Salinity index	(R-NIR)/(R+NIR)	Khan et al., 2001
SI-A	Salinity index	$(R*B)^{*}100$	Akhzari, 2016
SI-T	Salinity index	$(R/NIR)^{*}100$	Akhzari, 2016
BI	Soil index	$\sqrt{R^2 + NIR^2}$	Dehni & Lounis, 2012
PD <sub>322</sub>	Salinity index	R-G/R+G	Barnes, 1992
IPVI	vegetation index	NIR/(NIR+R)	Crippen, 1990
DVI	vegetation index	NIR-R	Tucker, 1979
NDVI	vegetation index	(NIR-R)/(NIR+R)	Rouse et al., 1973
Cosri	Soil index	(B+G)/(R+NIR)*NDVI	Fernandez-Bucess et al., 2006
SAVI	vegetation index	$1.5*(NIR-R)/(NIR+R+0.5)$	Huete, Jackson & Post, 1985
T SAVI	vegetation index	$(S*(NIR-S*R-a)/(a*NIR+R-a*s+x^1+s^2))$	Gvyot & Baret, 1991
O SAVI	vegetation index	$1/16*(NIR-RED)/(NIR+RED+0.16)$	Rondeaux et al., 1996
M SAVI	vegetation index	$((2*NIR+1)-SQRT((2*NIR+1)^2-8*(NIR-RED))$	Qietal, 1994
GDVI <sub>2</sub>	vegetation index	$(NIR^2-R^2)/(NIR^2+R^2)$	WU, 2012
MSI	Water index	SWIR <sub>1</sub> /NIR	Tajgardan et al., 2009
VSSI	Salinity index	$2^*G-5(R+NIR)$	Dehni & Lounis, 2012
NDWI	Water index	(PG-PNIR)/(PG+PNIR)	Mcfeeters, 1996
MNDVI	vegetation index	(G-SWIR)/(G+SWIR)	Xu, 2006
NDBI	Soil index	(NIR-SWIR)/(NIR+SWIR)	Wolf, 2010
SI 11	Salinity index	RSWIR <sub>1</sub> /RSWIR <sub>2</sub>	et al., 2008 Bannari
SI Aster	Salinity index	$(SWIR_1 - SWIR_2)/(SWIR_1 + SWIR_2)$	Bannari et al., 2008
INT 1	Soil index	$(G+RED)/2$	Douaoui, Nicolas & Walter, 2006
INT 2	Soil index	$(G+RED+NIR)/2$	Douaoui, Nicolas & Walter, 2006
BI 2	Soil index	$\sqrt{G^2 + NIR^2}$	Khan et al., 2001
EVI 1	vegetation index	$(2.5*(NIR-RED))/(NIR+6*RED-7.5B+1)$	Huete et al., 2002
RVI	vegetation index	NIR/R	Major, 1990

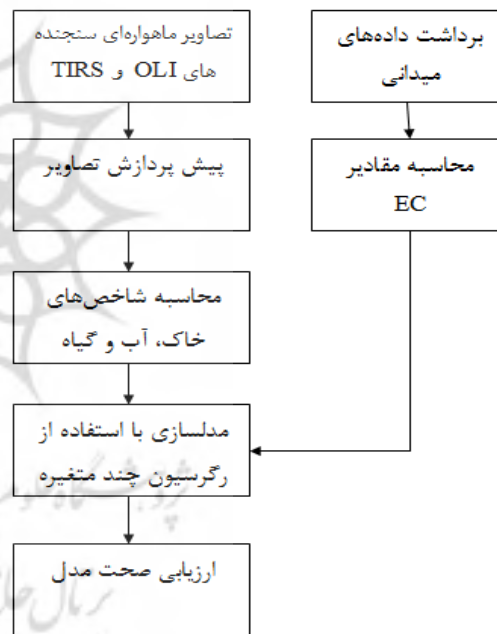
1. Radiance

2. Reflectance

املاح در خاک باعث شورشدن و غیرقابل استفاده شدن اراضی می‌شود. بنابراین، بررسی میزان شوری و قلیائی بودن آب‌های سطحی و زیرزمینی، با هدف جلوگیری از بروز خسارت به کشاورزی و محیط زیست، باید در نظر گرفته شود. کاتیون‌ها و آنیون‌های اصلی مهم در خاک‌های شور شامل سدیم، کلسیم، منیزیم، پتاسیم، کلرید، سولفات، بیکربنات، کربنات و نیترات می‌شود (Kant et al., 2008). با این حال، کلرید‌سدیم فراوان‌ترین نمک محلول در آب‌های جهان (Torabi, 2014) و عامل اصلی شوری در بیشتر مناطق است و بر همین اساس، بیشتر پژوهش‌های شوری در مردم اثر کلرید‌سدیم انجام شده است (Mahmoudi et al., 2016). در طبقه‌بندی ویلکاکس<sup>۱</sup>، دو عامل هدایت الکتریکی و نسبت جذب سدیم به منظور تعیین کیفیت مصارف کشاورزی در نظر گرفته شده که در آن S نماینده SAR و C در نظر گرفته شده هدایت الکتریکی است. آب‌ها، از نظر شوری، در چهار گروه C1، C2، C3، C4، قرار می‌گیرند. کلاس C1 آب‌هایی با کمتر از ۲۵۰ میکروموس بر سانتی‌متر شوری یا هدایت الکتریکی کمتر از ۲۵۰ میکروموس بر سانتی‌متر است. کلاس C4 شامل آن دسته از آب‌هایی است که بیش از ۲۲۵۰ میکروموس بر سانتی‌متر شورند. از نظر سدیمی بودن، آب‌ها چهار گروه می‌شوند (S1، S2، S3، S4). گروه S1 آب‌هایی با نسبت جذب سدیم کمتر از ۱۰ است (USSL, 1954). هر گروه از این آب‌ها محدودیت‌های خاص خود را دارد و نیازمند مدیریت خاصی در آبیاری است. نتایج آنالیز تعدادی از نمونه‌های آب منابع آبیاری، که مهندسان مشاور پیشاهنگ توسعه کرمانشاه انجام داده‌اند، در جدول ۴ نمایش داده شده است. این موارد شور و سدیمی بودن منابع آبی منطقه و تأثیرات منفی آن در خاک را نشان می‌دهند.

1. Wilcox

پس از جمع‌آوری داده‌های زمینی و محاسبه مقادیر EC و نیز جمع‌آوری تصاویر ماهواره‌ای سنجنده‌های OLI و TIRS ماهواره لندست ۸، متعلق به سال ۲۰۱۳، پیش‌پردازش داده‌های ماهواره‌ای (تصحیح رادیومتری، هندسی و اتمسفری) انجام شد. سپس شاخص‌ها (خاک، گیاه و آب) محاسبه شد. در مرحله بعد با استفاده از مقادیر EC و شاخص‌ها، از طریق رگرسیون چندمتغیره خطی (روش گام‌به‌گام)، شوری خاک مدل‌سازی شد و در نهایت، صحت مدل ارزیابی شد. فلوچارت روش تحقیق مطابق شکل ۲ و مراحل مطرح شده است.



شکل ۲. فلوچارت پژوهش انجام شده

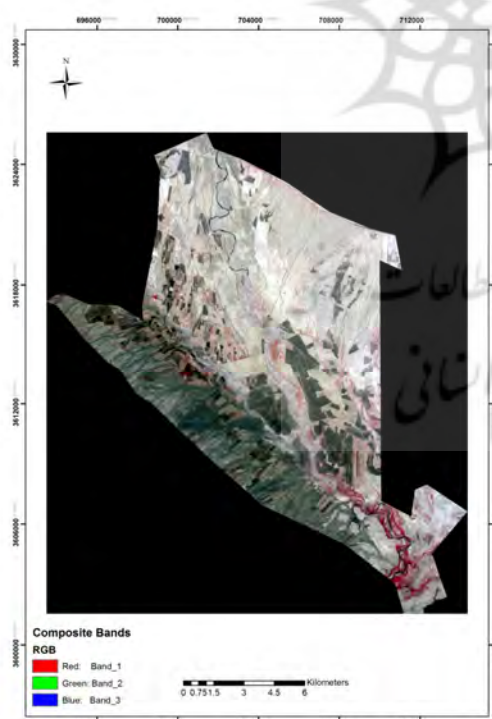
### ۳- نتایج و بحث

۱-۳- بررسی منابع آبی منطقه آب‌های مناطق خشک و نیمه‌خشک دارای املاح محلول زیادی هستند که بخشی از آن صرف نیازهای گیاهان و مابقی در خاک انباسته می‌شود. در صورتی که به این مسئله توجهی نشود، با گذشت زمان، تجمع

جدول ۴. نتایج آنالیز نمونه‌های آب محدوده مطالعاتی

ردیف	موقعیت محل	Y	X	موقعت														
				Class	K <sup>+</sup> (meq/l)	Na <sup>+</sup> (meq/l)	Mg <sup>2+</sup> (meq/l)	Ca <sup>2+</sup> (meq/l)	2-SO <sub>4</sub> (meq/l)	HCO <sub>3</sub> <sup>-</sup> (meq/l)	2-CO <sub>3</sub> (meq/l)	CL <sup>-</sup> (meq/l)	SAR	T.D.S	EC <sub>106</sub>	pH		
۱	میمه محمدعلی افسرده			C3-S1	۰.۲۱	۸.۹۳	۱۷.۵	۲۶.۵	۴۱.۰۴	۳.۱	۰	۹	۱.۹۰	۱۰۰.۸۲	۱۶۹۰	۵.۶۹		
۲	میمه چاه کریم نیازی			C3-S1	۰.۰۹	۹.۷۵	۱۲.۱	۱۴.۵	۲۸.۱۴	۱.۸	۰	۶.۵	۲۶۷	۰.۸۲۱	۱۲۹۹	۶.۱۷		
۳	میمه چاه جهانیخش جاسمی			C3-S1	۰.۱	۱۲.۲۳	۳۰.۴	۱۴.۲	۳۹.۵۳	۲.۸	۰	۱۵۶	۲۸۰	۱.۲۶۸	۱۹۸۱	۶.۰۷		
۴	چاه			C4-S3	۰.۵۷	۷۲	۳.۳	۳۹.۱	۸۰.۷۷	۲	۰	۳۲.۲	۱۵۶۴	۲.۰۴۸	۳۲۰۰	۶.۱	۳۶۱۰۲۶۰	۷۱۰۰۰۱
۵	میمه سید محمد نظری			C3-S1	۰.۱۸	۹.۹۶	۱.۸	۲۲.۲	۲۱.۶۴	۳.۶	۰	۸.۹	۲۸۸	۱.۰۰۹	۱۵۷۷	۶.۲۵		
۶	میمه میرشکار الیوی			C3-S1	۰.۱	۱۲.۵۵	۱۹.۹	۱۱.۶	۲۹.۸۵	۲.۱	۰	۱۲.۲	۳.۱۶	۱.۰۲۷	۱۶۰۶	۶.۳۴		
۷	چاه شورماهی بالا			C4-S3	۱.۲۷	۶۵.۰۵	۱۰.۱	۴۴.۴	۱۲.۲۸	۳.۱	۰	۱۳۰	۱۲.۴۶	۳.۴۰۵	۵۳۲۰	۶.۳۷	۳۶۰۷۵۱۷	۷۱۱۳۳۴
۸	میمه سد انحرافی رودخانه			C4-S3	۰.۲۹	۷۲	۳۹.۵	۶۰.۵	۲۰.۰۱	۲.۳	۰	۱۹۰	۱۰.۱۸	۰.۵۴	۸۴۴۰	۶.۲۳		
۹	میمه نزدیک روستای بیات			C4-S3	۰.۴۱	۴۸.۵	۱۷.۵	۳۸.۲	۳۵.۴	۴.۷	۰	۱۳۵	۹.۱۹	۲۶۴	۴۱۱۳	۶.۲۱		
۱۰	میمه چاه صادق کاروی			C2-S1	۰.۰۶	۸.۸۱	۱۱.۸	۳.۶	۸۰.۰۳	۲.۳	۰	۱۰۰	۲.۴۵	۰.۴	۶۳۴	۶.۴۸		
۱۱	رودخانه میمه پل بیات			C4-S4	۰.۳	۷۷.۹۵	۱۶.۸	۲۴	۲۵۰.۹۵	۲.۵	۰	۲۶۷.۵	۱۷.۲۶	۶.۰۲	۹۴۰۰	۰.۵۶		
۱۲	میمه چاه سعید جمشیدی			C3-S1	۰.۱۶	۹.۵۴	۲۴.۲	۲۳	۴.۱	۲.۸	۰	۵۰	۱.۹۶	۱.۱۵	۱۷۹۳	۶۸۱		
۱۳	میمه چاه ابراهیم رحمتی			C3-S1	۰.۰۶	۷.۹۵	۲۳.۷	۶.۸	۹.۴۹	۲.۲	۰.۸	۴۵	۲.۰۴	۰.۷۶	۱۱۹۴	۶.۹۳		
۱۴	میمه می آبسلان			C2-S1	۰.۰۳	۴.۰۲	۲۰	۳	۱۳.۱۵	۲	۰.۷	۳۷۵	۱.۱۹	۰.۲۱	۳۲۵	۷.۲۴		
۱۵	میمه رودخانه بدمست پروفیل ۹۳			C4-S3	۰.۲۷	۶۹.۶۵	۲۰.۵	۵۶.۵	۱۶۰.۰۸	۱.۴	۰.۶	۳۰۵	۱۱.۲۳	۰.۵۶	۸۳۸۰	۶.۵۳		
۱۶	میمه چاه مرتضی اروانه			C2-S1	۰.۰۴	۱۵.۸	۱۵.۳	۲.۷	۲۳.۱۸	۱.۸	۱	۴۰	۰.۵۳	۰.۲۱	۳۳۲	۷.۱۶		
۱۷	میمه چاه عباس عبدالنیا			C4-S2	۰.۱۲	۲۶.۴۶	۲۰	۳۰	۵۸.۲	۲.۴	۰	۸۰	۰.۵۲۹	۱.۷۷	۲۷۱۰	۶۶۴		
۱۸	میمه چاه عباس دارابزاده شماره ۱۴			C4-S1	۰.۱۵	۲۲.۳۲	۴۲.۲	۱۲.۸	۶.۴۳	۲.۴	۰	۸۲.۵	۴.۴۵	۱۶۹	۲۶۴۰	۶۶۳		
۱۹	محل چاه عمیق شماره ۱			C4-S2	۰.۹۴	۳۸.۱۶	۴.۸	۳۹.۷	۳۲.۲	۳.۴	۰	۱۱۲.۵	۸.۱۱	۲۶	۴۰۷۰	۶.۴۸	۳۶۱۱۶۳۰	۷۰۸۸۰۹

برای انجام شدن بهتر تفسیر چشمی، تصاویر رنگی کاذب (RGB) با ترکیب باندهای ۵، ۴، ۳، ۲، تهیه شد. در این ترکیب رنگی، پوشش گیاهی به رنگ قرمز، خاک‌ها به رنگ طیف سفید تا خاکستری و رودخانه به رنگ آبی بسیار تیره دیده می‌شوند (شکل ۳).

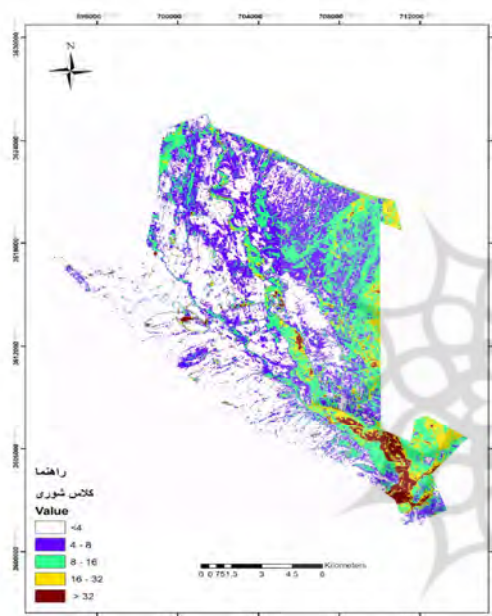


شکل ۳. تصویر رنگی کاذب منطقه با ترکیب باند ۳، ۴، ۵

۲-۳-۲- مدل‌سازی مرحله مدل‌سازی با استفاده از روش رگرسیون چندمتغیره خطی (روش گام‌به گام) که در واقع، دارای دو روش پیش‌رونده و پس‌رونده است، انجام شد. در روش پس‌رونده، که در این پژوهش استفاده شده است، ابتدا تمامی متغیرها در مدل وجود دارند و مرحله به مرحله، متغیری که سطح معنی‌داری مورد قبولی نداشته نباشد از مدل حذف می‌شود. در این روش، اجرای مدل تا زمانی ادامه می‌یابد که آخرین متغیر با کمترین میزان آماره از مدل حذف شود؛ به این صورت که در هر مرحله، تمامی متغیرها وارد مدل می‌شوند و علاوه بر بررسی شدن در مدل، با آماره خودشان نیز ارزیابی می‌شوند. مقادیر بازتاب طیفی

٣-٣- تحلیل آماری - طفی

نقشهٔ شوری براساس مدل رگرسیونی گام به گام، متعلق به سال نمونه‌برداری (۲۰۱۳) تهیه شد (شکل ۴). روابط رگرسیونی پیرسون بین باندها و شاخص‌های گوناگون و مقدار  $Ec$  حاصل از داده‌های زمینی نیز در شکل ۵ نمایش داده شده است که نتایج حاصل با تحقیق الهرتی<sup>۱</sup> و همکاران (۲۰۱۶)، عزب‌دفتری<sup>۲</sup> و سونار<sup>۳</sup> (۲۰۱۶) و پیتنی<sup>۴</sup> و همکاران (۲۰۱۸) مطابقت دارد.



شکل ۴. نقشه شوری نهایی حاصل از اعمال شاخص‌ها در رابطه با گرسنگی، گام به گام

باندها و شاخص‌های برگزیده به منزله متغیر مستقل و هدایت الکتریکی خاک سطحی به منزله متغیر وابسته در نظر گرفته شد. باندها و شاخص‌هایی که با فاکتور شوری EC (متغیر وابسته) بیشترین همبستگی را داشتند مشخص و بهترین مدل انتخاب شد. در مدل ارائه شده، شاخص‌ها و باندهایی مشخص شدند که بیشترین همبستگی را با مقادیر شوری داشتند و به ترتیب، شامل MS1 و Si 11، NDBI، SI 2، SI-T بودند.

$$Y = -592.610 - (0.976 * SI - T) + \\ (113.729 * SI2) + (2230.781 * NDBI) - \\ (61.958 * SI11) + (885.182 * MSI)$$

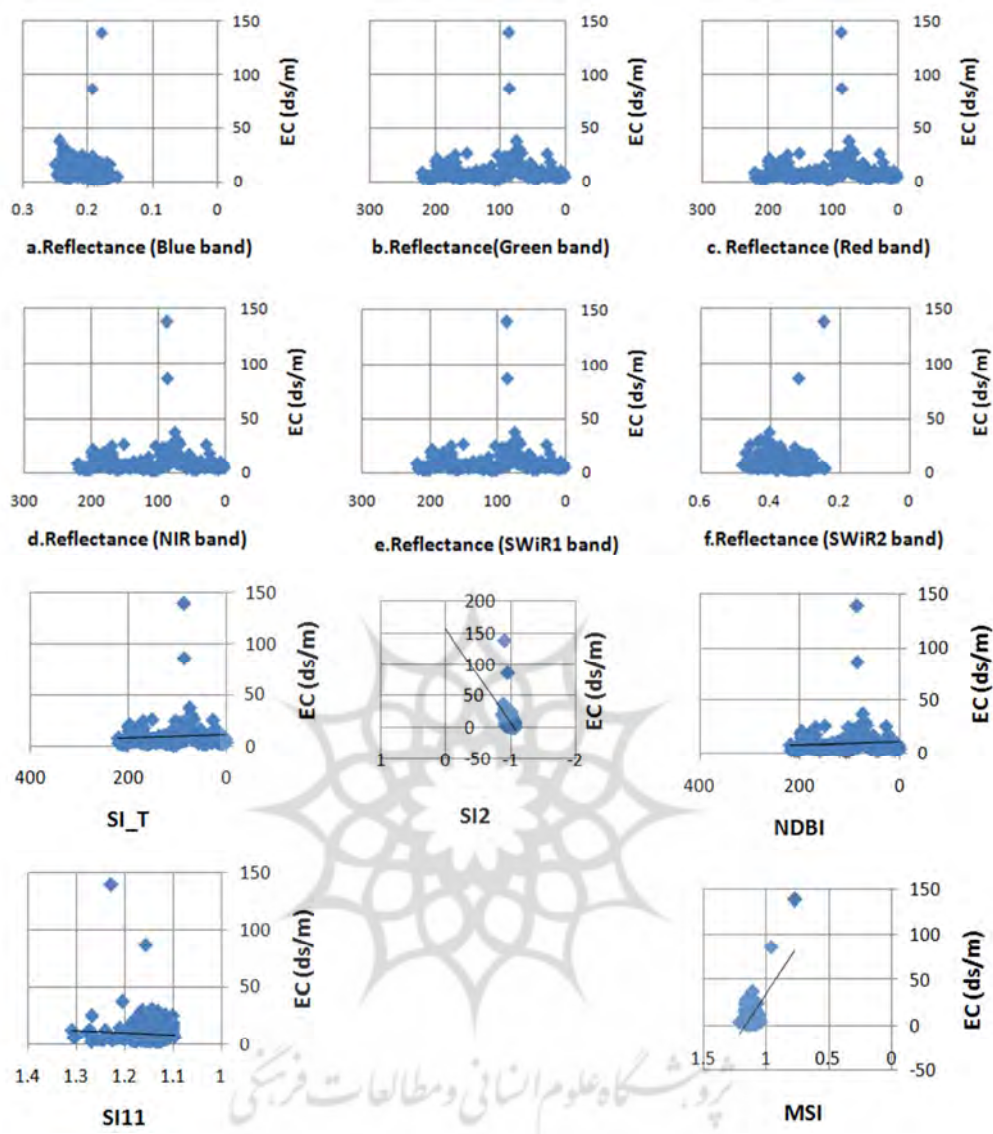
(۳) ابطة

سپس نقشهٔ شوری خاک، براساس معیارهای مشخص کلاس شوری خاک، سازمان مطالعات شوری خاک آمریکا طبقه‌بندی شد (جدول ۵). طبقه‌بندی ارائه شده در جدول ۵ نشان می‌دهد که اگر مقدار شوری خاک از ۴ دسی‌زیمنس بر متر کمتر باشد، خاک در طبقهٔ غیرشور قرار می‌گیرد و اگر مقدار EC بیشتر از ۳۲ دسی‌زیمنس بر متر باشد، خاک در طبقهٔ شوری بسیار زیاد قرار می‌گیرد. نقشهٔ نهایی شوری خاک منطقهٔ مورد مطالعه، با استفاده از مهم‌ترین باندها و شاخص‌ها، طبق رابطهٔ (۱) و در پنج طبقهٔ مشخص، تهیه شد.

#### حدوٰ، ۵. طبقہ بندی، کلاس ہائے شو، خاک

نوع خاک	میزان EC (دسیزیمنس بر متر)			
غیرشور	شوری اندک	شوری متوسط	شوری زیاد	شوری بسیار زیاد
$\text{S}_0 > \text{S}_1 > \text{S}_2 > \text{S}_3 > \text{S}_4$	$4 - 8$	$8 - 16$	$16 - 32$	$32 <$
طبقه شوری				

- 1. ELHarti
  2. Azabdaftari
  3. Sunar
  4. Whitney



شکل ۵. نمودار همبستگی پرسون بین مقدار EC داده‌های زمینی و باندها و شاخص‌های مؤثر

قرار می‌گیرند، همبستگی تاحد مورد قبولی برای تهیه نقشه خاک، افزایش می‌یابد و می‌توان با استفاده از تصاویر ماهواره‌ای، در نقاطی که نمونه‌برداری انجام نگرفته است، میزان شوری خاک را با صحت بیشتری برآورد کرد. به دلیل اینکه داده‌های چندطیفی در شوری‌های کم قدرت تفکیک پایینی دارند، پهنای باند بالا نمی‌توانند تغییرات جزئی را شناسایی کنند؛ بنابراین، توصیه آن است که برای تفکیک تغییرات جزئی، از تصاویر فراتصیفی استفاده شود (Metternicht & Zinck, 2009).

خلاصه آماری همبستگی پرسون بین باندها و شاخص‌های مؤثر در تهیه نقشه شوری خاک، با مقدار EC که از نقاط زمینی برداشت شده، در جدول ۶ آمده است.

باندها، به تهیای و پیش از استفاده در شاخص‌ها و انجام شدن محاسبات مورد نظر، همبستگی بالایی با شوری خاک ندارند. در صورت به کاربردن باندها در روابطی که منجر به ایجاد شاخص‌های گوناگون می‌شود، همبستگی افزایش چشمگیری می‌یابد و در مرحله بعدی که شاخص‌ها داخل مدل (روش گام‌به‌گام)

جدول ۶. مقادیر همبستگی بین مقدار EC و باندها و شاخص‌های مؤثر

	EC	band 2	band 3	band 4	band 5	band 6	band 7	band 8	SI1	SI2	SI3
Pearson Correlation	۱	.۰۰۸۵	.۰۰۴۰	-.۰۰۰۶	.۰۱۲۸	-.۰۰۲۰	-.۰۰۲۸	.۰۰۱۵	.۰۲۰۴**	.۰۴۱۹**	-.۰۰۱۳
Sig. (2-tailed)		.۰۳۳۹	.۰۵۵۲	.۰۹۹۳	.۰۰۵۹	.۰۷۷۱	.۰۶۶۷	.۰۸۸۲	.۰۰۰۲	.....	.۰۸۴۷
N	۲۲۰	۲۲۰	۲۲۰	۲۲۰	۲۲۰	۲۲۰	۲۲۰	۲۲۰	۲۲۰	۲۲۰	۲۲۰
	SI4	SI5	SI6	SI7	SI8	SI9	SI10	SR	NDSI	SI-A	SI-T
Pearson Correlation	.۰۰۲۴	-.۰۰۰۵	-.۰۰۷۲	.۰۰۱۶	.۰۰۴۷	.۰۰۲۰	.۰۶۷۷**	.۰۶۹۶**	.۰۶۹۵**	.۰۰۲۹	-.۰۶۲۹**
Sig. (2-tailed)	.۰۷۳۲	.۰۹۳۹	.۰۲۸۶	.۰۸۱۰	.۰۴۸۴	.۰۷۶۵	.....	.....	.....	.۰۶۷۴	.....
N	۲۲۰	۲۲۰	۲۲۰	۲۲۰	۲۲۰	۲۲۰	۲۲۰	۲۲۰	۲۲۰	۲۲۰	۲۲۰
	BI	PD <sub>322</sub>	IPVI	DVI	NDVI	Cosri	SAVI	T SAVI	O SAVI	M SAVI	GDVI <sub>2</sub>
Pearson Correlation	.۰۰۷۹	-.۰۴۴۵**	.۰۶۵۹**	.۰۵۰۴**	.۰۶۵۹**	.۰۶۶۳**	.۰۶۱۷**	.۰۶۴۹**	.۰۶۴۸**	.۰۶۱۵**	..۰۳۷
Sig. (2-tailed)	.۰۲۴۵	.....	.....	.....	.....	.....	.....	.....	.....	.....	.۰۷۳۷
N	۲۲۰	۲۲۰	۲۲۰	۲۲۰	۲۲۰	۲۲۰	۲۲۰	۲۲۰	۲۲۰	۲۲۰	۲۲۰
	MSI	VSSI	NDWI	MNDWI	NDBI	SI 11	SI Aster	INT 1	INT 2	BI 2	EVI 1
Pearson Correlation	-.۰۶۳۷**	-.۰۰۷۲	-.۰۴۴۸**	-.۰۴۵۰**	.۰۶۶۷**	.۰۰۶۴	.۰۰۶۴	.۰۰۱۴	.۰۰۶۱	.۰۰۷۹	..۰۷۲
Sig. (2-tailed)	.....	.۰۲۸۶	.....	.....	.....	.۰۳۴۵	.۰۳۴۳	.۰۸۳۶	.۰۲۶۷	.۰۲۴۵	.۰۲۴۹
N	۲۲۰	۲۲۰	۲۲۰	۲۲۰	۲۲۰	۲۲۰	۲۲۰	۲۲۰	۲۲۰	۲۲۰	۲۲۰
	RVI										
Pearson Correlation		.۰۶۹۶**									
Sig. (2-tailed)		.....									
N		۲۲۰									

\* معنی داری در سطح ۵٪

\*\* معنی داری در سطح ۱٪

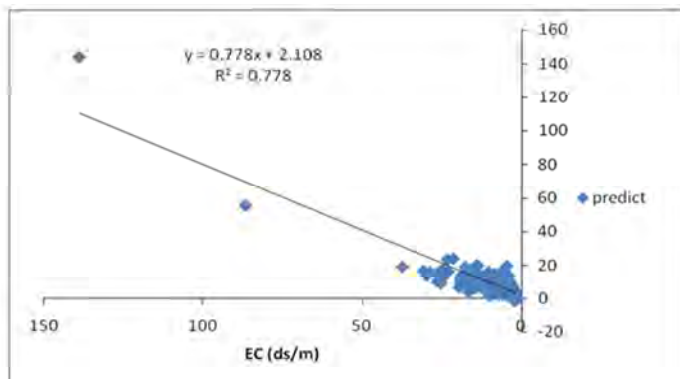
رگرسیونی، ضرایب رگرسیون و ثابت بودن واریانس و نرمال بودن توزیع باقی مانده ها نیز، در محیط SPSS بررسی شدند.

ضریب همبستگی پیرسون در مدل برابر ۰/۸۸۲ و ضریب تبیین و ضریب تبیین تعديل شده برابر با ۰/۰۷۷۳ است که رقم بالایی محسوب می شوند. سطح معنی داری آنها نیز برابر صفر است که معنی دار بودن مدل رگرسیونی را می رساند. تنها توابعی برای پیش بینی مورد اعتماد ندند که ضریب تبیین  $R^2$  مناسب و حداقل بالاتر از ۵۰٪ داشته باشند؛ از این رو، مدل حاصل می تواند متغیر وابسته را به خوبی پیش بینی کند.

نتایج اندازه گیری مساحت هر کلاس و نیز درصد هریک از کلاس های شوری خاک نشان می دهد که ۰/۷۵۶۴٪، برابر با ۱۵۳۵۸.۸۲ هکتار از منطقه مورد مطالعه در طبقه غیرشور و ۱۰۷٪، برابر با ۲۱۷.۳۱ هکتار از خاک های منطقه در طبقه بسیار شور قرار دارد. مساحت و درصد شوری هر کلاس در جدول ۸ آمده است.

#### ۴-۳- ارزیابی صحت داده های طیفی در برآورد شوری خاک

برای دستیابی به الگوریتمی که در مقایسه با مشاهدات میدانی و با توجه به دامنه پراکنش داده ها، در تخمین شوری سطحی خاک همبستگی و دقت بالاتری دارد؛ مقادیر محاسبه شده نمایه های طیفی منتخب در هر پیکسل به منزله پارامترهای مستقل و مقادیر شوری سطحی خاک هر نقطه به صورت پارامتر وابسته تعریف شدند. به منظور بررسی شدت و ضعف وابستگی آماری و روابط بین شوری سطحی خاک (متغیر وابسته) با متغیرهای مستقل یا برآورد کننده پژوهش، در محیط SPSS روش رگرسیونی گام به گام روی داده ها اعمال شد و بهترین مدل برآش بیافته با بالاترین ضریب همبستگی و کمترین خطای انتخاب شد. نتایج در جدول ۷ و نمودار پراکنش مقادیر پیش بینی شده EC در مقابل مقادیر اندازه گیری شده نیز در شکل ۶ نمایش داده شده است. صحت نقشه شوری خاک نشان دهنده دقت کلی طبقه بندی ۸۸٪ است. مدل های انتخابی از لحاظ اعتبار



شکل ۶. نمودار پراکنش مقادیر پیش‌بینی شده EC به نسبت مقادیر واقعی

جدول ۷. برآورد میزان همبستگی شاخص‌های طیفی و EC خاک

جهت همبستگی	سطح معنی‌داری آزمون (sig)	ضریب تبیین تغییر شده ( $R^2$ )	ضریب همبستگی (R)	مدل
مثبت	۰.۰۰۰	۰.۷۷۳	۰.۷۷۸	Stepwise

جدول ۸. مساحت و درصد کلاس‌های شوری

کل	شوری بسیار زیاد	شوری زیاد	شوری متوسط	شوری کم	غیرشور	کلاس شوری
۲۰۳۰۳.۷۵	۲۱۷.۳۱	۵۳۷.۲۴	۱۹۸۴.۹۲	۲۲۰۵.۴۴	۱۵۳۵۸.۸۲	مساحت (he)
۱۰۰	۱.۰۷	۲.۶۴	۹.۷۷	۱۰.۸۶	۷۵.۶۴	درصد %

### ۳-۵- نتیجه‌گیری کلی

مطالعه سطح خاک با استفاده از سیستم‌های دورسنجی بسیار پیچیده است. تغییرات زمانی و مکانی باعث شده است هریک از دانشمندان روش متفاوتی را برای تهیئة نقشه شوری، با استفاده از اطلاعات سنجش از دور، پیشنهاد کند (Salman & Mubeen, 2000). مهم‌ترین مزیت استفاده از تصاویر ماهواره‌ای، به منظور تهیئة نقشه شوری خاک، امکان تهیئة نقشه شوری خاک سطحی درمورد تاریخ‌های مختلف، بدون دراختیار داشتن اطلاعات میدانی است. حتی می‌توان درمورد تاریخ‌های گذشته که اطلاعات ماهواره‌ای آنها موجود است، نقشه شوری خاک را تهیه کرد. در پژوهش انجام شده، با استفاده از مجموعه‌ای از باندهای ماهواره‌ای و

همچنین، مهندسان مشاور پیشاپنگ توسعه کرمانشاه، متناسب با زمان نمونه برداری (سال ۱۳۹۰)، محدوده مورد مطالعه را براساس کلاس‌های شوری تقسیم‌بندی کردند. مساحت هر کلاس شوری در جدول ۹ آورده شده است. در این مطالعه، به منظور ارزیابی شدت محدودیت‌های ناشی از وجود سدیم در اعمق تا ۷۵ سانتی‌متری نقاطی که میزان EC آنها بیش از ۸ دسی‌زیمنس بر متر یا pH آنها بیش از ۸.۲ بوده است، طبق روال، در عمق با بیشترین محدودیت، میزان سدیم و کلسیم و منیزیم اندازه گرفته شده است. مقدار SAR نیز محاسبه و در جدول ۹ منعکس شده است.

ارزیابی کارآیی داده‌های طیفی و شاخص‌های منتج از سنجنده‌های OLI و ... TIRS

**جدول ۹. مساحت (هکتار) و درصد کلاس‌های شوری و سدیمی خاک اندازه‌گیری شده از سوی مهندسان مشاور پیشاهنگ توسعه کرمانشاه، در محدوده مطالعاتی**

درصد	مساحت	SAR	EC ds/m	کلاس‌های شوری و سدیمی
۱۸.۱۲	۳۸۱۰	۸ >	۴ >	S0A0
۴۰.۷۰	۸۵۴۶	۸ >	۸ - ۴	S1A0
۲.۶۵	۵۵۶	۸ - ۱۳	۸ - ۴	S1A1
۵.۶۹	۱۱۹۶	۸ >	۱۶ - ۸	S2A0
۰.۱۶	۱۰۸۵	۸ - ۱۳	۱۶ - ۸	S2A1
۷.۹۷	۱۶۷۴	۳۰ - ۱۳	۱۶ - ۸	S2A2
۰.۲۳	۴۸	۷۰ - ۳۰	۱۶ - ۸	S2A3
۱.۳۲	۲۲۷	۸ >	۳۲ - ۱۶	S3A0
۲.۱۵	۴۵۱	۱۳ - ۸	۳۲ - ۱۶	S3A1
۰.۱۶	۱۰۸۵	۳۰ - ۱۳	۳۲ - ۱۶	S3A2
۰.۳۱	۶۴	۷۰ - ۳۰	۳۲ - ۱۶	S3A3
۴.۱۳	۸۶۷	۳۰ - ۱۳	۳۲ <	S4A2
۱.۹۶	۴۱۱	۷۰ - ۳۰	۳۲ <	S4A3
۱.۰	۲۰۹	۷۰ <	۳۲ <	S4A4
۳.۴۵	۷۲۱	-	-	Mis
۱۰۰	۲۱۰۰	-	-	جمع مساحت و درصد

بازتاب سطح به شدت تحت تأثیر میزان رطوبت خاک، محتوای نمک، رنگ و زبری سطح قرار دارد. غلظت بالای نمک را می‌توان از طریق گونه‌های خاص پوشش گیاهی و الگوهای رشد و یا با شوره و پوئه نمکی موجود در خاک‌های لخت، شناسایی کرد. در پژوهش‌های مشابه پیشین، شاخص‌های گوناگون پوشش گیاهی و شوری را برای ارزیابی و ترسیم نقشه شوری خاک به کار گرفته‌اند. همان‌طور که بحث شد، این شاخص‌ها با درجات متفاوت موفقیت به کار رفته‌اند و مناطق گوناگون، از نظر سطح شوری و میزان پوشش گیاهی، تفاوت دارند؛ از این‌رو، استفاده از یک شاخص واحد انتخابی ممکن است عملکرد مطلوبی نداشته باشد. در این مطالعه، سعی شده است از شاخص‌های گوناگون شامل آب، خاک و گیاه استفاده شود تا دقیق مدل و نقشه حاصل بالاتر باشد.

1. Asfaw

شاخص‌های مستخرج، بهترین مدل ارزیابی شوری خاک منطقه مطالعاتی تعیین شد. اصفا<sup>۱</sup> و همکاران (۲۰۱۶) رابطه بین مقادیر شاخص‌های طیفی تصاویر ماهواره‌ای و داده‌های میدانی (EC) را در منطقه ایپوی بررسی کردند. نتایج نشان داد داده‌های سنجش از دور، در تهیه مدل‌ها و نقشه‌های شوری خاک بسیار مناسب است که با نتایج حاصل هم‌خوانی دارد. مشاهدات میدانی و تحلیل آماری EC اندازه‌گیری شده خاک دهلران نشان دهنده تجمع نمک در سطح خاک و لایه‌های بالایی آن در مناطق شور است که با نتایج سنجش از دور هم‌خوانی دارد. با افزایش فاصله از سرچشمۀ رودخانه میمه، مقدار خاک افزایش می‌یابد. بالاترین مقدار EC در انتهای مسیر رودخانه اندازه‌گیری شد و با مقایسه داده‌های حاصل از ماهواره لندست ۸، به کارگیری شاخص‌ها و قراردادن شاخص‌ها در معادله رگرسیونی گام به گام این نتیجه حاصل شد که تصاویر ماهواره‌ای در ارزیابی شوری خاک منطقه کارآمد است و نتایج همبستگی بالایی در سطح ۰.۸۸ با داده‌های زمینی دارند.

#### ۴- منابع

- متین‌فر، ح.، سرمدیان، ف.، علوفی‌پناه، س.ک.، ۱۳۸۸، ارزیابی داده‌های سنجنده IRS-1D به منظور شناسایی خاک‌ها براساس مطالعات میدانی و به کمک سامانه‌های اطلاعات جغرافیایی (GIS) در منطقه آران و بیدگل، مهندسی و مدیریت آبخیز، دوره بیست و یکم، شماره ۱ (پیاپی ۴۶-۵۸)، صص. ۸۲.
- Abdelfattah, M.A., 2009, **Soil Salinity Mapping Model Developed Using RS and GIS – A Case Study from Abu Dhabi, United Arab Emirates**, European Journal of Scientific Research, 26(3), PP. 342-351.
- Al-Hassoun, S.A., 2012, **Remote Sensing of Soil Salinity in an Arid Areas in Saudi Arabia**, International Journal of Civil and Environmental Engineering IJCEEIJENS, 10(2), PP. 11-20
- Asfaw, E., Suryabhagavan, K.v. & Argaw, M., 2016, **Soil Salinity Modeling and Mapping Using Remote Sensing and GIS: The Case of Wonji Suger Cane Irrigation Farm, Ethiopia**, Jounal of the Saudi Society of Agricultural Sciences, PP. 1-22.
- Azabdaftari, A. & Sunar, f., 2016, **Soil Salinity Mapping Multitemporal Land Sat Data**, The International Archives of the Potogrammetry, Remote Sensing and Spatial Imnformation Sciences, xl-B7, PP. 809-813.
- Buces, F.N., Siebe, C., Cram, S. & Palacio, J.L., 2006, **Mapping Soil Salinity Using a Combined Spectral Response Index for Bare Soil and Vegetation: (A Case Study in the Former Lake Texcoco, Mexico)**, Journal of Arid Environments, 65, PP. 644-667.
- Dennis, L., 2018, **Validating the Use of MODIS Time Series Fore Salinity Assessment over Agricultural Soils in California, USA**, Ecological Indicators, 93, PP. 889-898.
- ELHarti, A., Lhissou, R., Chokmani, K., Ouzemou, J., Hassouna, M., Bachaoui, E. & Ghmari, A., 2016, **Spatiotemporal Monitoring of Soil Salinization in Irrigated Tadla Plain (Morrocco) Using Satellite Spectral Indices**, International Journal of Applied Earth – Observation and Geoinformation, 50, PP. 64-73.
- اخضری د.، می‌آبادی اسدی، ا.، ۱۳۹۵، تهیه نقشه شوری خاک با استفاده از تحلیل طیفی داده‌های سنجنده OLI و داده‌های میدانی. مطالعه موردی: جنوب دشت ملایر، سنجش از دور و سامانه اطلاعات جغرافیایی در منابع طبیعی، سال هفتم، شماره ۲، صص. ۱-۸۷.
- چیتساز، و.، ۱۳۷۸، بررسی امکان تهیه نقشه شوری و قلیائیت خاک در منطقه شرق اصفهان با استفاده از داده‌های رقومی TM پایان‌نامه کارشناسی ارشد، دانشگاه صنعتی اصفهان، دانشکده منابع طبیعی.
- دشتکیان، ک.، پاک‌پرور، م.، عبدالهی، ج.، ۱۳۸۷، بررسی روش‌های تهیه نقشه شوری خاک با استفاده از داده‌های ماهواره‌ای لندست در منطقه مروست، تحقیقات مرتع و بیابان ایران، شماره ۲، صص. ۱۵۷-۱۳۹.
- دماؤندی ع.ا.، درویش‌صفت، ع.ا.، ۱۳۷۸، بررسی امکان کاربرد داده‌های ماهواره‌ای در شناسایی و طبقه‌بندی اراضی شور، به روش رقومی، همایش نقشه‌برداری.
- زینالی م.، جعفرزاده، ا.، شهبازی، ف.، اوسستان، ش.، ولی‌زاده، ک.، ۱۳۹۵، ارزیابی شوری خاک سطحی با روش پیکسل‌مبنا براساس داده‌های سنجنده TM. مطالعه موردی: اراضی شهرستان خوی، استان آذربایجان غربی، اطلاعات جغرافیایی، شماره ۲۵ (۹۹)، صص. ۱۳۹-۱۲۷.
- علوفی‌پناه، س.ک.، ۱۳۸۲، **کاربرد سنجش از دور در علوم زمین (علوم خاک)**، انتشارات دانشگاه تهران.
- کافی م.، بزرئی، ا.، صالحی، م.، کمندی، ع.، معصومی، ع.، نباتی، ج.، ۱۳۸۸، **فیزیولوژی تنفس‌های محیطی در گیاهان**، مشهد: انتشارات جهاد دانشگاهی مشهد.

- Helmut L., Tavakoli, H., Ansair R., Askar, H. & Rastegari, J., 2013, **Crop and Forage Production Using Saline Waters**, Daya Publishing House, India.
- Kant, C., Aydin, A. & Turan, M., 2008, **Ameliorative Effect of Hydro Gel Substrate on Growth, Inorganic Ions, Proline and Nitrate Contents of Bean under Salinity Stress**, Journal of Plant Nutrition, 31(7), PP. 1420-1439.
- Landsat-8 (L8), 2016, **Data User Handbook**, Landsat Project Science Office at NASA's Goddard Space Flight Center in Greenbelt, 1168, Available at: <http://landsathandbook.gsfc.nasa.gov/pdfs>.
- Mahmoudi, S., Mohammadkhani, A. & Rouhi, V., 2016, **Effects of Sodium Chloride and Calcium Chloride on Growth, Gel Content and Concentration of Some Nutrients in Aloe Vera under Greenhouse Conditions**, Journal of Science and Technology of Greenhouse Culture, 7(2), PP. 85-97.
- McLean, E.D., 1982, **Soil pH and Lime Requirement**, In: A.L. Page (Editor), Methods of soil analysis. Part 2, 2nd ed, Agronomy Monograph, 9. ASA and SSSA, Madison, WI, PP. 199-224.
- Metternicht, G.I. & Zinck, J.A., 2003, **Remote Sensing of Soil Salinity: Potentials and Constraints**, Remote Sensing of Environment, 85, PP. 1-20.
- Metternicht, G.I. & Zinck, J.A., 2008, **Remote Sensing of Soil Salinization: Impact on Land Management**, CRC Press.
- Metternicht, G.I. & Zinck, J.A., 2009, **Remote Sensing of Soil Salinization: Impact on Land Management**, CRC Press, Taylor & Francis Group, LLC.
- Qureshi, A.S., Qadir, M., Heydari, N., Turrel, H. & Javadi, A.A., 2007, **Review of Management Strategies for Saltprone Land and Water Resources in Iran**, Working paper 125, International Water Management Institute, Sri Lanka.
- Rekha, S., Jenita, R., Mrunalini, B., Kannan, V. & Nethaji Mariappan, V.E., 2011, **Development and Demonstration of Satellite Image Salinity Analyzer-A Tool for Salinity Mapping**, International Journal on Applied Bioengineering, 5(1), PP. 25-29.
- Rhoades, J.D., 1982, **Cation Exchangeable Capacity**, In: Page, A.L., Miller, R.H., Keeney, D.R. (Eds.), Methods of Soil Analysis: Part2. Chemical and Microbiological Properties. Agronomy Monograph, 9. ASA and SSSA, Madison, WI, PP. 149-157.
- Salman, A. & Mubeen-Ul-Din, A., 2000, **Using State of the Art RS and GIS for Monitoring Water Logging and Salinity**, Proceeding of a Roundtable Meeting, Lahor, Pakistan, 10-11 Nov. 2000, IPTRID: FAO.
- Soil Survey Staff, 1999, **Soil Taxonomy: A Basic System of Soil Classification for Making and Interpreting Soil Surveys**, USDA, Hand Book. 436. 2nd ed. Washington, DC, U.S.A.
- Soil Survey Staff, 2010, **Keys to Soil Taxonomy**, USDA, NRCS.
- Torabi, M, 2014, **Physiological and Biochemical Responses of Plants to Salt Stress**, The 1<sup>st</sup> International Conference on NEW IDEAS in Agriculture, 26-27 Jan., Islamic Azad University Khorasan Branch, Isfahan, Iran.
- United States Salinity Laboratory (USSL), 1954, **Diagnosis and Improvement of Saline and Alkali Soils**, USDA Hand Book, PP. 60-147.
- Wilcox, L.V., 1955, **Classification and Use of Irrigation Waters**, US Department of Agriculture. Cire., 969, Washington D.C. USA. P. 19.
- Whitney, K., Scudiero, E., El-Askary, H. M., Skaggs, T. H., Allali, M., & Corwin, D. L., 2018, **Validating the use of MODIS time series for salinity assessment over agricultural soils in California**, USA. Ecological indicators, 93, 889-898.
- Zeng, W., Zhang, D., Fang, Y., Wu, J. & Huang, J., 2018, **Comparison of Partial Least Square Regression, Support Vector Machine, and Deep-Learning Techniques for Estimating Soil Salinity from Hyperspectral Data**, Journal of Applied Remote Sensing, 12(2), P. 022204.



سنجش از دور

ایران GIS

سنجش از دور و GIS ایران سال سیزدهم، شماره چهارم، زمستان ۱۴۰۰  
Vol.13, No. 4, Winter 2022 Iranian Remote Sensing & GIS

51-66



## Evaluation of the Efficiency of Spectral Data and Indices Derived from OLI and TIRS Sensors in Estimating Soil Salinity in Arid Regions of Southern Ilam Province

Matinfar H.R.<sup>1</sup>, Kohani F.<sup>2\*</sup>, Asilian Mahabadi A.A.<sup>3</sup>

1. Associate Prof. of Soil Science, College of Agriculture, Lorestan University, Lorestan

2. Ph.D. Student of Soil Science, College of Agriculture, Lorestan University, Lorestan

3. Graduate Master of Soil Science, College of Agriculture, Ilam University, Ilam

### Abstract

Soil salinity is one of the most important environmental problems, and the identification and zoning of saline soils is difficult due to the need for sampling and laboratory analysis, as well as having temporal and spatial variability. In recent years, the use of satellite imagery has always been of interest to experts due to its ease of use and ability to detect phenomena. Remote sensing information greatly aids the study of soil salinity and can be helpful in identifying salinity values. In this study, 220 soil samples were collected from Meymeh area of Dehloran, south of Ilam province, according to the type of study and physiographic types and soil units. Then, pH and EC values were measured using standard methods. Soil salinity values were evaluated using correlations between EC electrical conductivity values obtained from ground data and variables obtained from Landsat 8 satellite images including bands, salinity indices, vegetation indices and soil indices. Finally, the soil surface salinity estimation model was obtained using stepwise regression method. This method involves the automatic selection of independent variables, and with the availability of statistical software packages, it is possible to do so even in models with hundreds of variables. In previous studies, indicators and bands have been used separately and in a limited way, but in this study, an attempt has been made to use a combination of different indicators more widely, and finally to achieve the best relationship by eliminating the indicators that have the least impact on soil salinity estimation. Using significant level analysis and correlation between the output of models and ground data, the best model with a value of ( $R^2 = 0.882$ ) was selected and a soil salinity map was prepared based on it. In the study area, the highest area belonged to non-saline class which comprises 75% of the total study area and about 1% of the soils belong to the saline class.

**Keywords:** Dehloran meymeh, Remote sensing, Soil salinity index, Stepwise regression, OLI, TIRS

Correspondence Address: Soil Science Department, University of Lorestan, Tel: 09301584414.  
Email: kohani.f@fa.lu.ac.ir